

خواص الکتریکی و مغناطیسی ترکیب فرومغناطیسی - ابررسانای $\text{Ru}(\text{Gd}_{1/5-x}\text{Pr}_x)\text{Ce}_{0/5}\text{Sr}_2\text{Cu}_2\text{O}_{10-d}$

آنا خواجه نژاد، ندا نیک سرشت، حنیف هادی پور و محمد اخوان

آزمایشگاه تحقیقاتی مغناطیس (MRL)، دانشکده فیزیک، دانشگاه صنعتی شریف، خیابان آزادی، تهران

چکیده

همزیستی ابررسانایی و نظم مغناطیسی وجود همزمان آنها در برخی مواد، یکی از مسائل اساسی در فیزیک حالت جامد است. به منظور مطالعه خواص الکتریکی و مغناطیسی، ترکیبات فرمغناطیسی-ابررسانایی $\text{RuCe}_{0/5}\text{Gd}_{1/5-x}\text{Pr}_x\text{Sr}_2\text{Cu}_2\text{O}_{10-d}$ با $x=0/01, 0/03, 0/04, 0/05$ به روش واکنش حالت جامد ساخته شدند. نقش پراش XRD برای مقادیر مختلف x خلوص بالای این ترکیبات را نشان می‌دهد. منجنیهای مقاومت الکتریکی و مغناطیسی در دماهای مختلف و میدانهای مختلف از 0 تا $1/5T$ اندازه‌گیری شده‌اند. پارامترهای ابررسانایی و مغناطیسی از جمله دمای گذار ابررسانایی (T_c) و دمای گذار مغناطیسی (T_{irr}) از اندازه‌گیریهای مقاومت الکتریکی به دست می‌آیند. افت شدید (T_c) با x در $\text{Ru}(\text{Gd}_{1/5-x}\text{Pr}_x)\text{Ce}_{0/5}\text{Sr}_2\text{Cu}_2\text{O}_{10-d}$ ، به دلیل رقابت بین شکست جفت توسط ناخالصی مغناطیسی، نفوذ حفره به دلیل تفاوت در ظرفیت بونهای، تفاوت در شعاع یونی و میزان (استوکیومتری) اکسیژن می‌باشد. در جایگذاری Pr به جای Gd، تفاوت کوچک بین شعاع یونی Gd^{3+} و Pr^{3+4+} باعث کاهش فاصله مانهای Ru-Ru می‌شود و در نتیجه برهمکنش تبادلی مغناطیسی، با افزایش میزان x بیشتر می‌شود. هر دو دمای T_c و T_{irr} با افزایش میدان مغناطیسی خارجی کاهش می‌یابند.

واژه‌های کلیدی: روتونوکربات، الایش Pr، خواص الکتریکی و مغناطیسی، دمای گذار ابررسانایی و مغناطیسی

۱. مقدمه

جمله دمای گذار مغناطیسی را تغییر دهد. ترکیبات $\text{RuSr}_2(\text{R}_{3/4}\text{Ce}_{1/4})_2\text{Cu}_2\text{O}_{10-d}$ ($\text{R} = \text{Ho}, \text{Y}, \text{Dy}$) تحت فشار و دمای بالا ساخته شده‌اند. دمای گذار مغناطیسی این ترکیبات در حدود 100 K و T_c (دمای گذار ابررسانایی)، بسته به عنصر خاکی کمیاب جایگزین شونده به جای R در محدوده دمایی $20-40\text{ K}$ می‌باشد [۵]. دو گذار مغناطیسی در ترکیبات فرمغناطیسی-ابررسانایی $\text{RuGd}_{1/5}\text{Ce}_{0/5}\text{Sr}_2\text{Cu}_2\text{O}_{10-d}$ در حدود $T_M = 150\text{ K}$ (گذار از حالت پارامغناطیس به آنتی فرمغناطیس) و $T_{irr} = 100\text{ K}$ (گذار از حالت آنتی فرمغناطیس به فرمغناطیس) مشاهده می‌شود [۱]. میزان نامعین اکسیژن و تفاوت شعاع یونی عناصر خاکی کمیاب باعث تغییر پارامترهای مغناطیسی (از جمله T_M و T_{irr}) می‌شوند.

سیستم $\text{RuR}_2\text{Sr}_2\text{Cu}_2\text{O}_{10-d}$ ($\text{Ru}-1222$, $\text{R} = \text{rare earth}$) توسط روشهای تجربی مختلفی مورد مطالعه قرار گرفته است [۱] و [۴]. ساختار $\text{Ru}-1212$ از شبکه معروف YBCO ($\text{YBa}_2\text{Cu}_3\text{O}_{7-d}$) با جایگزینی‌های یون R به جای Y، لایه SrO به جای لایه BaO و صفحات RuO_2 به جای زنجیره CuO به دست می‌آید. ساختار $\text{Ru}-1222$ از ساختار $\text{Ru}-1212$ با جایگزینی بلوک R_2O_3 به جای یون R به دست می‌آید. حاملهای بار ابررسانایی مربوط به صفحات CuO_2 می‌باشند و حالت فرمغناطیس به لایه‌های اختصاص دارد [۱] و [۲]. جایگزینی عناصر خاکی Ru کمیاب به جای R می‌تواند رفتار ابررسانایی صفحات CuO_2 را کترل کند و همچنین پارامترهای مغناطیسی از

آهنربای الکتریکی با میدان 20 kOe و یک دستگاه مگنتومتر مدل ۱۵۵ PAR با حساسیت 10^{-3} emu انجام شد.

۳. نتایج و بحث

طی ف پ راش اش عه X، ترکیب $\text{Ru}(\text{Gd}_{1/5-x} \text{Pr}_x) \text{Ce}_{0/5} \text{Sr}_2 \text{Cu}_2 \text{O}_{10-d}$ به ازای مقادیر مختلف x از 0 تا $1/10$ ، اندازه‌گیری شد. همان‌گونه که طیفهای XRD مربوط به دو نمونه در شکل ۱ نشان می‌دهند، این نمونه‌ها تکفار هستند. مقایسه نتایج XRD با نتایج دیگران نشان می‌دهد که فاز $\text{Ru}-1222$ به خوبی شکل گرفته است [۶]، ولی نمونه $x=0$ از کیفیت نازلترا برخوردار است.

مقاومت الکتریکی نمونه‌ها در محدوده دمای اتاق تا 10K برای نمونه‌هایی با مقادیر مختلف جایگزینی Pr به جای Gd، اندازه‌گیری شده است.

با شروع از دماهای بالا به پایین، رفتار مغناطیسی و ابررسانایی به 4 بخش تقسیم می‌شود: (i) در دماهای بالا، سیستم در فاز پارامغناطیس است که نتایج مغناطش در دمای اتاق این موضوع را تائید می‌کند (حلقه هیسترزیس فرومغناطیس گونه مشاهده نمی‌شود) [۷ و ۸]. (ii) در T_M زیر شبکه Ru پادفرومغناطیس می‌شود. (iii) در $T_{irr} < T_M$ که وابسته به مقدار Pr است، فرومغناطیس ضعیف القا می‌شود که از کج شدگی ممانهای Ru سرچشمه می‌گیرد. این کج شدگی از برهمنکش فوق تبادلی غیر متقارن (DM) [۹] به وجود می‌آید. (iv) در دماهای پایین‌تر زیر T_c حالت ابررسانایی القا می‌شود. در زیر T_c هر دو فاز ابررسانایی و فرومغناطیس ضعیف همزیستی دارند [۲، ۳ و ۱۰]. در واقع ابررسانایی در ابررساناهای دانه‌ای شامل دو مرحله است. این دو مرحله در روتونوکپراتها بسیار واضح‌تر و چشمگیرتر است و علت آن، وجود مناطق غیر ابررسانا و مغناطیسی در بین دانه‌های پادفرومغناطیس و ابررساناست و همچنین به ناهمگنی در حضور اکسیژن نیز مربوط می‌شود. در T_c مناطق درون دانه‌ای شروع به ابررسانا شدن می‌کنند. در دمای T_p دانه‌های ابررسانا از طریق اثر جوزفسون با هم زوج می‌شوند [۱۱]. در این نمونه‌ها مقاومت مطلق صفر یعنی جایی

پخت ترکیبات ساخته شده در حضور فشار اکسیژن باعث افزایش دمای T_{irr} و تغییر سایر مشخصه‌های مربوط به خاصیت فرومغناطیسی ضعیف آنها می‌شود [۱ و ۳]. انتظار داریم که خواص ابررسانایی ترکیب $\text{RuGd}_{1/5} \text{Ce}_{0/5} \text{Sr}_2 \text{Cu}_2 \text{O}_{10-d}$ با جایگزینی Pr به جای Gd تغییر یابد. در پس تلاش برای فهم سازوکار ابررسانایی و مغناطیس در $\text{Ru}-1222$ در اینجا اطلاعاتی در مورد خواص ترا بر ردی ترکیبات $\text{Ru}(\text{Gd}_{1/5-x} \text{Pr}_x) \text{Ce}_{0/5} \text{Sr}_2 \text{Cu}_2 \text{O}_{10-d}$ آورده شده است. نتایج نشان می‌دهند که ناخالصی مغناطیسی و ظرفیت قابل تغییر Pr نقش اساسی‌ای در این جایگزینی دارند.

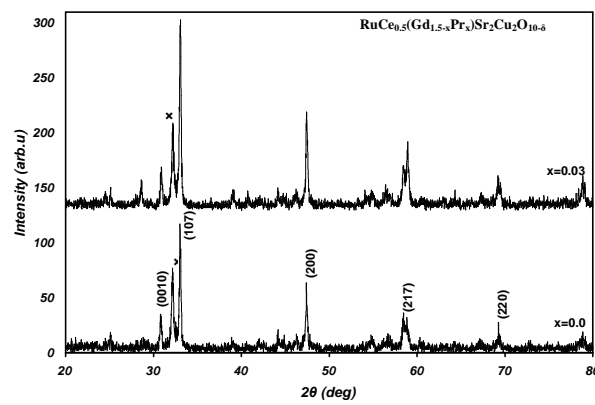
۲. جزئیات آزمایش

سرامیکهای ابررسانای $\text{Ru}(\text{Gd}_{1/5-x} \text{Pr}_x) \text{Ce}_{1/5} \text{Sr}_2 \text{Cu}_2 \text{O}_{10-d}$ به ازای مقادیر مختلف x از 0 تا $1/10$ ، $\text{Ru}(\text{Ce}_{0/5-x} \text{Pr}_x) \text{Gd}_{0/5-x} \text{Sr}_2 \text{Cu}_2 \text{O}_{10-d}$ برای x از 0 تا $1/2$ از پودرهای RuO_2 ، $\text{Pr}_6 \text{O}_{11}$ ، SrCO_3 ، CeO_2 ، CuO ، $\text{Gd}_2 \text{O}_3$ و با RuO_2 به روشن واکنش حالت جامد ساخته شده‌اند. مخلوط شده و در بوتهای آلومینا ریخته می‌شوند، سپس مخلوط حاصل تا دمای 950°C درجه سانتیگراد در گامهای زمانی معینی در معرض هوا گرم می‌شود. مدت زمان قرارگیری در این دما 30 ساعت است. سپس به آرامی تا دمای اتاق سرد می‌شود. این مرحله از ساخت به منظور همگنی بیشتر پودرهای اولیه دو بار صورت می‌پذیرد. محصول به دست آمده تحت فشار 10 ton/cm^2 به شکل قرص با ابعاد به قطر 10 mm و ضخامت 1 mm در آورده می‌شود، سپس به مدت چند روز تحت عبور اکسیژن در دمای 1060°C درجه سانتیگراد قرار می‌گیرد. طیف پراش پرتو x نمونه‌ها با استفاده از طول موج $1/54 \text{ \AA}$ و در گستره دمایی $80-10^\circ\text{C}$ گرفته شد. برای اندازه‌گیریهای الکتریکی از یک یچچال مدار بسته دیسپلکس در بازه دمایی $K-300^\circ\text{C}$ استفاده شد. برای اندازه‌گیری و کنترل دما از یک ترمومتر Pt-100 و دستگاه Lake Shore مدل A استفاده شد. اندازه‌گیریهای مغناطیسی نمونه‌ها با استفاده از یک

مغناطیسی با افزایش x افزایش می‌یابد. همچنین، دمای گذار مغناطیسی بسیار به میزان اکسیژن نمونه حساس است و جایگزینی عناصر خاکی کمیاب می‌تواند میزان اکسیژن جذب شونده توسط ماده را تغییر دهد. شواهد بسیاری مبنی بر ورود و خروج اکسیژن از صفحات RuO_2 - d وجود دارد [۵]. تغییر چگالی حفره‌ها در صفحات $\text{Cu}-\text{O}$ توسط اکسیژن، الکترونهای منتقل شونده به باند ۴d اتمهای Ru را افزایش می‌دهد و بنابراین، برهمکشن تبدیلی زیرشبکه Ru افزایش یافته، T_{irr} بالا می‌رود.

وابستگی دمایی مقاومت الکتریکی نمونه با $x=0/0.33$ در میدانهای مغناطیسی خارجی مختلف به بزرگی 15kOe در شکل ۳ نشان داده شده است.

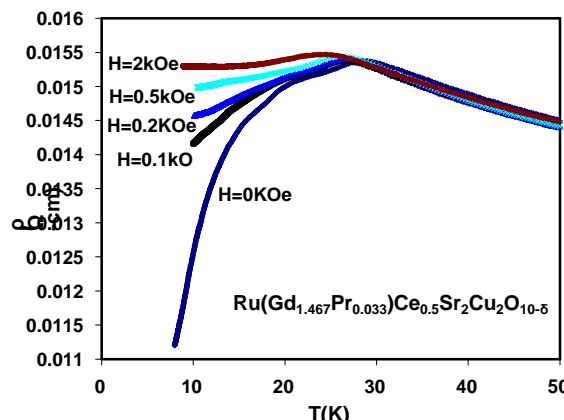
شروع ابررسانای، جایی که درون دانه‌ها ابررسانا می‌شوند، چندان تحت تاثیر میدان مغناطیسی قرار نمی‌گیرد. دمایی که در آن مقاومت مغناطیسی نمونه به طور کامل صفر می‌شود ($T_c^{R=0}$)، T_p ، دمایی که اتصالات ضعیف جوزفسون به هم متصل می‌شوند، شدیداً تحت تاثیر میدان مغناطیسی خارجی هستند [۱۳]. میدان مغناطیسی خارجی، یک میدان باقیمانده در ترکیب تولید می‌کند و این میدان داخلی می‌تواند به واسطه ناهمگنی ترکیب، در درون ماده نفوذ نموده، باعث پهن شدن گذار ابررسانای در میدانهای مغناطیسی ضعیف شود. همچنین، این پهن شدن گذار ابررسانای در ناحیه گذار ابررسانا می‌تواند به واسطه حضور و حرکت شارهای مغناطیسی در ترکیب رخ دهد [۱۴]. پنهانی شدید ناحیه گذار می‌تواند به دلیل حضور اکسیژن در این نمونه‌ها باشد. چرا که حضور بیشتر اکسیژن در نمونه‌هایی که ساختار دانه‌ای دارند، منجر به رشد دانه‌های ابررسانا می‌شود [۱۵]. بنابراین مرز بین دانه‌ها که به عنوان مراکز میخکوبی برای شارهای مغناطیسی عمل می‌کردند، کم می‌شوند و بدین ترتیب شارهای مغناطیسی که در درون ماده نفوذ کرده اند آزادی حرکت بیشتری خواهند داشت و افت مقاومت در ناحیه گذار ابررسانای در دماهای پاییتری اتفاق می‌افتد و گذار ابررسانای پهتری خواهیم داشت. از مقایسه میزان پهنای گذار به واسطه حضور میدان مغناطیسی خارجی می‌توان برای مقایسه میزان اکسیژن نمونه‌های مختلف استفاده کرد [۷] و [۸].



شکل ۱. طرح پراش اشعه X برای نمونه‌های $\text{RuCe}_{0.5}(\text{Gd}_{1.5-x}\text{Pr}_x)\text{Sr}_2\text{Cu}_2\text{O}_{10-d}$ با $x=0/0.03$ و $x=0/0.0$.

که فقط فاز ابررسانا موجود است، در دماهای خیلی پایین اتفاق می‌افتد که دسترسی به آن مشکل است. بنابراین شروع افت مقاومت به عنوان دمای گذار ابررسانا (T_c) در نظر گرفته می‌شود [۱۲]. همان طور که در شکل ۲ نشان داده شده است، با افزایش x از $x=0/0.33$ تا $x=0/0.03$ دمای گذار ابررسانا ای از 40 K به 27 K کاهش می‌یابد. تفاوت شعاع یونی یونهای Pr و Gd، پارامتر شبکه را کاهش داده و انرژی پرشی افزایش می‌یابد. همچنین، به دلیل تفاوت ظرفیت Gd^{3+} $\text{Pr}^{3+,4+}$ با Gd^{3+} جذب اکسیژن در نمونه‌های با Pr بیشتر، اندکی بیشتر است که این امر منجر به تقویت ابررسانا می‌شود. اما، شکست جفتهای کوپر توسط یون مغناطیسی Pr و آلایش الکترون در ترکیب، که دو عامل اساسی در تخریب ابررسانا در این جایگزینی هستند، بر عوامل تقویت کننده ابررسانا پیروز شده و در نهایت، کاهش شدید T_c را افزایش x در این نمونه خواهیم داشت.

دمای گذار مغناطیسی از تغییرات منحنی مشتق مقاومت مغناطیسی بر حسب دما به دست آمده است. رفتار دمای گذار مغناطیسی T_{irr} بر حسب x برای نمونه‌های مختلف به دست آمده است. جایگزینی Pr به جای Gd، دمای گذار مغناطیسی را افزایش می‌دهد. چرا که اختلاف شعاع یونی Pr نسبت به Gd باعث کاهش پارامتر a=(b) شبکه می‌گردد. بنابراین، با جایگزینی Pr، فاصله گشتاورهای Ru-Ru کاهش می‌یابد. در نتیجه، برهمکنش‌های مغناطیسی قویتر می‌گردند و دمای گذار

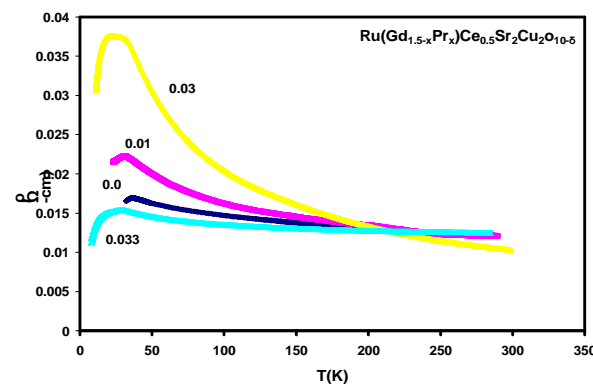


شکل ۳. مقاومت برحسب دما برای نمونه با $x=0.33$ در میدانهای مغناطیسی مختلف از 0 تا 2kOe .

دمای گذار مغناطیسی می‌شود. دمای گذار ابررسانایی بین دانه‌ای، در حضور میدان مغناطیسی خارجی کاهش می‌یابد.

قدرتانی

از همکاریهای سعید فلاحتی، مجتبی مظاہری و حمید عباس‌زاده کمال تشکر را داریم. این پژوهش توسط قطب علمی سیستمهای پیچیده و ماده چگال(www.cscm.ir) حمایت شده است.



شکل ۲. نمودار مقاومت الکتریکی نمونه‌های $\text{Ru}(\text{Gd}_{1.5-x}\text{Pr}_x)\text{Ce}_{0.5}\text{Sr}_2\text{Cu}_2\text{O}_{10-d}$ با $x=0.33, 0.1, 0.03, 0.01, 0$

۴. نتیجه‌گیری

خواص ابررسانایی و مغناطیسی ترکیبات $\text{Ru}(\text{Gd}_{1/5-x}\text{Pr}_x)\text{Ce}_{0/5}\text{Sr}_2\text{Cu}_2\text{O}_{10-d}$ برای مقادیر مختلف x مورد بررسی قرار گرفته‌اند. دمای گذار ابررسانایی با افزایش میزان آلایش Pr کاهش می‌یابد. شاعع کوچکتر Pr نسبت به Gd فاصله بین یونهای مغناطیسی Pr و صفحات ابررسانایی CuO_2 را می‌کاهد و بنابراین منجر به تضعیف ابررسانایی در این نمونه‌ها می‌شود. بزرگتر بودن شاعع یونی Pr نسبت به Gd باعث افزایش

مراجع

1. I Felner, U Asaf and E Galstyan, *Phys. Rev. B* **66** (2002) 024503.
2. I Felner, U Asaf, Y Levi and O Millo, *Phys. Rev. B* **55** (1997) R3374.
3. I Felner, U Asaf, Y Levi and O Millo, *Physica C* **334** (2000) 141.
4. H Hadipour, D Sabri, M Mirzadeh, M Akhavan, *Physica Status Solidi (c)* **3** (2005) 2982.
5. V P S Awana, M A Ansari, A Gupta, R B Saxena, H Kishan, D Buddhikot and S K Malik, *Phys. Rev. B* **70** (2004) 104520.
6. C A Cardoso, F M Araujo-Moreira, V P S Awana, E Takayama-Muromachi, O F de Lima, H Yamauchi, M Karppinen, *Phys. Rev. B* **67** (2003) 020407R; C A Cardoso, A J C Lanfredi, A J Chiquito, F M Araujo-Moreira, V P S Awana, H Kishan, R L de Almeida, and O F de Lima, *Phys. Rev. B* **71** (2005) 134509.
7. A Khajehnezhad, N Nikseresht, H Hadipour, M Akhavan, *E. Phys. J. B* **63** (2008) 461-467(7).
۸. آنا خواجه نژاد، ندا نیک سرشت، حنیف اخوان، کنفرانس فیزیک ایران (۱۳۸۶) ۳۴۳.
9. J Dzyaloshinsky, *J Phys. Chem. Solids* **4** (1958) 241; T Moriya, *Phys. Rev.* **120** (1960) 91.
10. J L Tallon, J W Loram, G V M Williams and C Bernhard, *Phys. Rev. B* **61** (2000) R6471.
11. Q Xiong, Y Y Xue, J W Chu, Y Y Sun, Y Q Wang, P H Hor and W Chu, *Phys. Rev. B* **47** (1993) 1137.
12. ندا نیک سرشت، آنا خواجه نژاد، حنیف هادی پور، محمد اخوان، کنفرانس فیزیک ایران (۱۳۸۶) ۴۵ (۱۳۸۷).
13. D Sabri, H Hadipour, M Mirzadeh, M Akhavan, *Physica Status Solidi (c)* **3** (2005) 2964.
14. A A Abrikosov and L P Gorkov, *J Exptl. Theor. Phys.* **39** (1960) 1781 [*Sov. Phys. JETP* **12** (1961) 1243].
15. Y Y Xue, B Lorenz, A Baikalov, D H Cao, Z G Li and C W Chu, *Phys. Rev. B* **66** (2002) 014503; *Phys. Rev. B* **65** (2002) R020511.